



# Tomo-e Gozen による 可視パルサーサーベイ

Kiso Schmidt Symposium  
Jul. 9, A.D.2018

ICHIKI Makoto (Institute of Astronomy, D1)

- パルサーについて
  - わかっていること
  - 可視光での研究
- Tomo-e Gozenによるパルサー観測
  - Crab pulsarの試験観測
  - Tomo-e による可視パルサーサーベイ
- その他現状
  - 周期が未知の天体に対する発見方法の検討
  - X線と電波との同時観測
  - マグネターサーベイの検討

# パルサーについて

# パルサーについて

- ・パルス信号を発する天体（ビーミングと磁気極のずれによる）
- ・速い周期（速い自転 Period  $\leq$  sec）
- ・強磁場 ( $\sim 10^{12}$ G)の中性子星

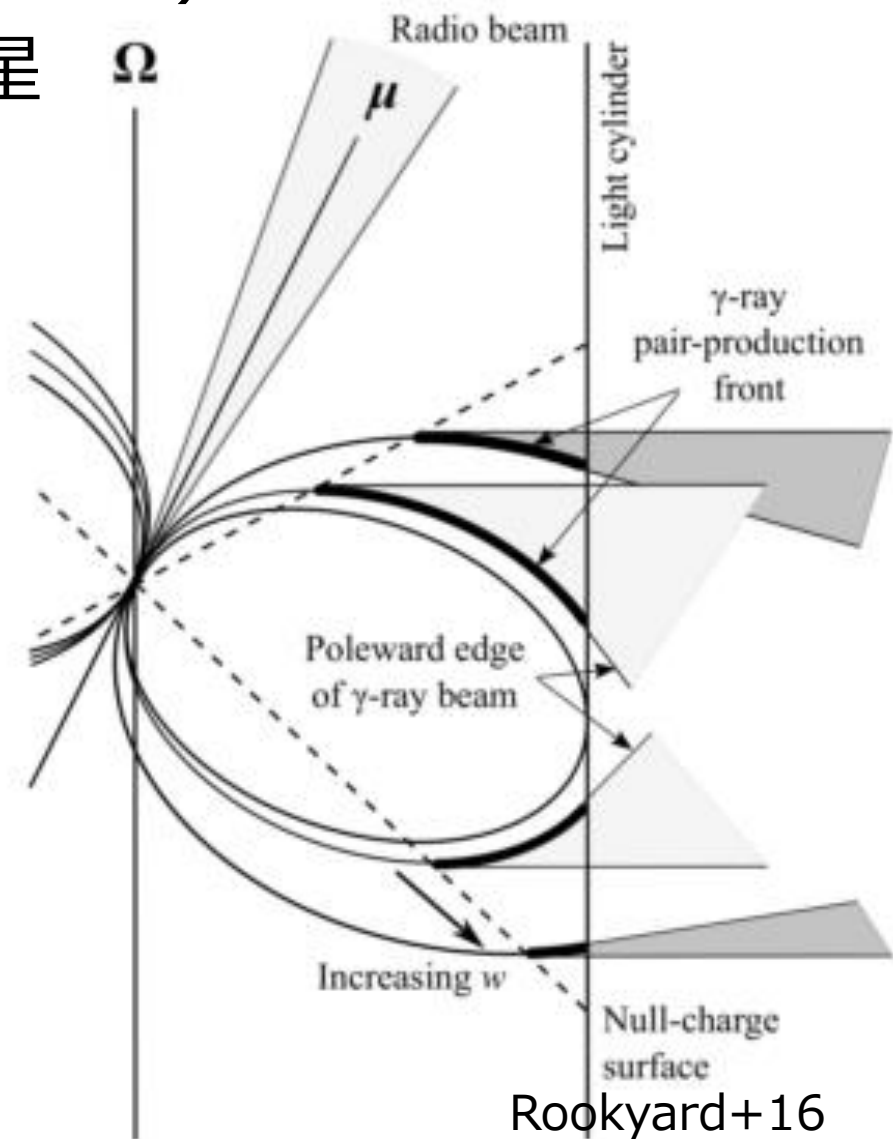


Neutron star...

Radius  $\sim 10$ km

Mass  $\gtrsim 1.4$  solar mass

Only visible Nuclear matter



# Rotation-powered pulsar

## Spin-down Luminosity

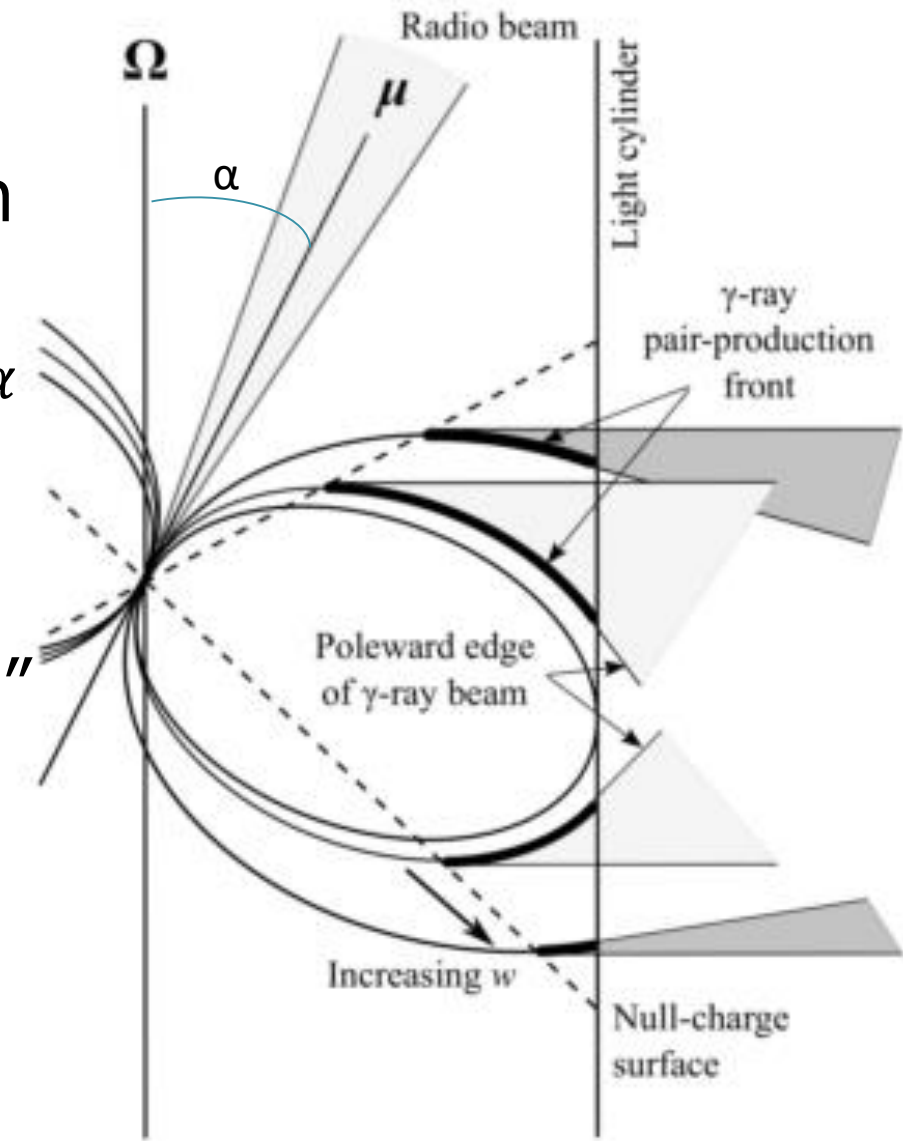
$I$ ...moment of inertia;  $P$ ...period

$$\frac{dE}{dt} = -4\pi^2 I \frac{\dot{P}}{P^3}$$

## Magnetic Dipole emission

$r$ ...surface of neutron star

$$\frac{dE}{dt} = \frac{2}{3c^3} r^6 B^2 \left(\frac{2\pi}{P}\right)^4 \sin^2 \alpha$$



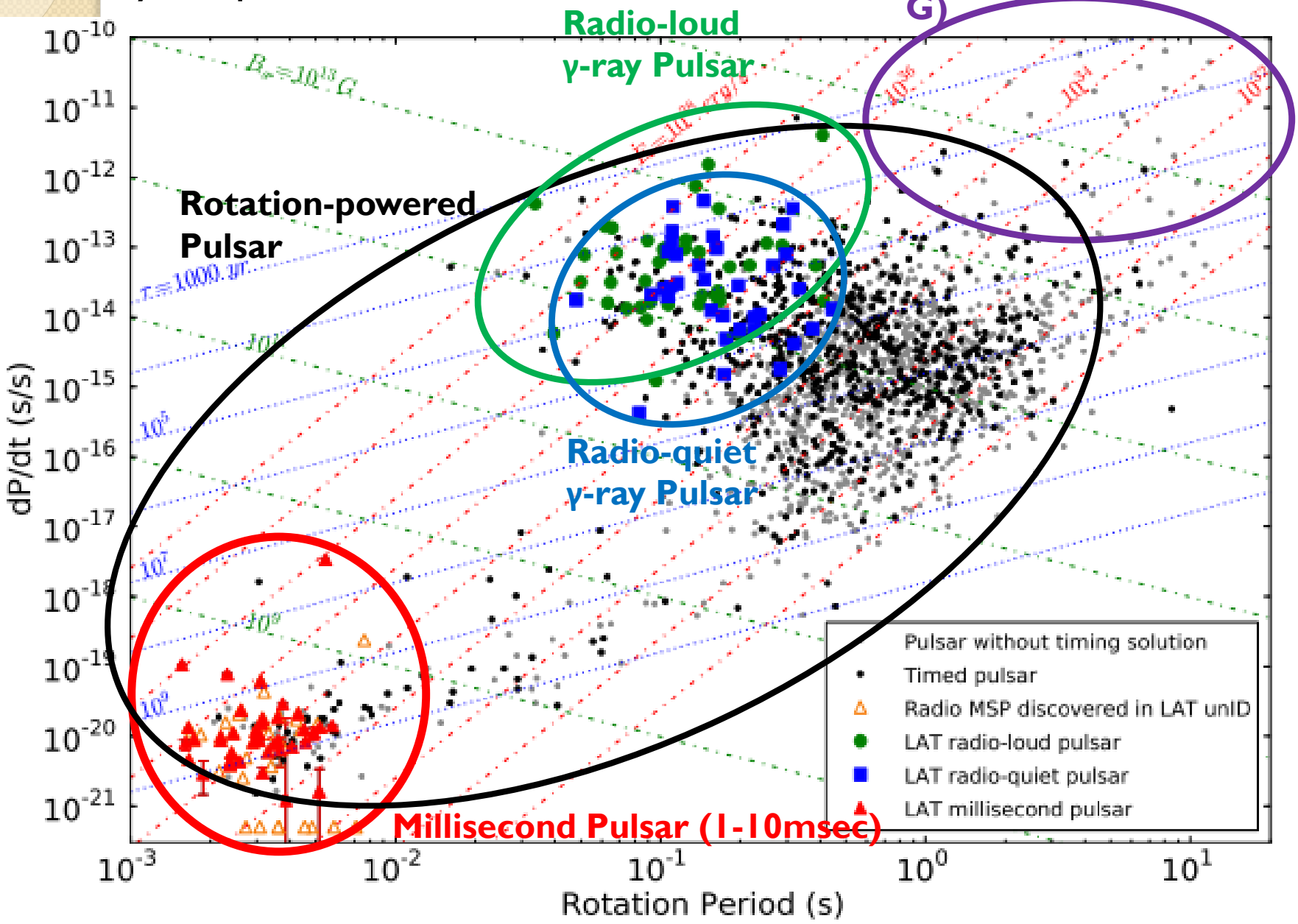
## the “Surface Magnetic Field”

$$B \simeq 10^{12} G \left(\frac{\dot{P}}{10^{-15}}\right)^{\frac{1}{2}} \left(\frac{P}{1s}\right)^{\frac{1}{2}}$$

## the “Characteristic Age”

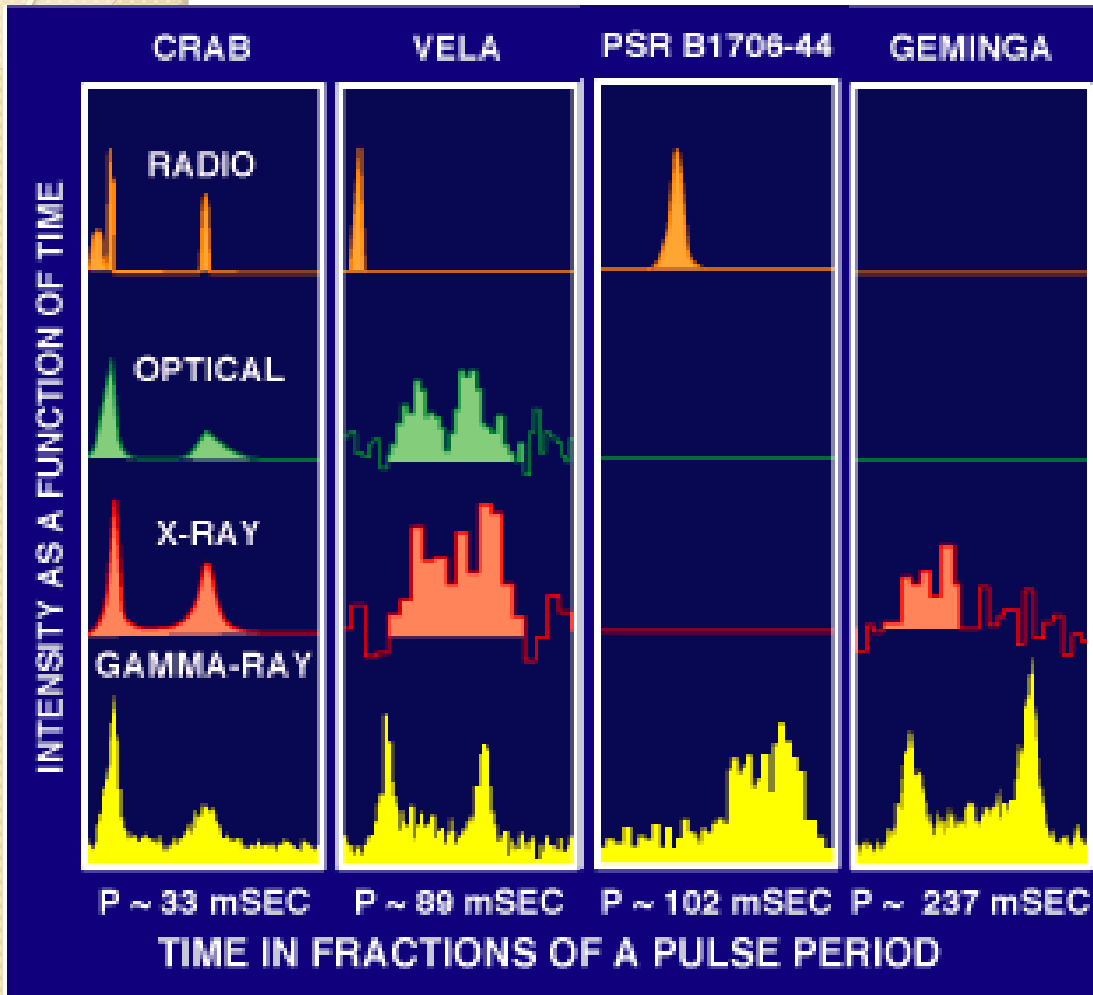
$$\tau \simeq 16 \text{Myr} \left(\frac{10^{-15}}{\dot{P}}\right) \left(\frac{P}{1s}\right)$$

# Diversity of pulsars



Abdo+13

# 光度曲線の多様性



in Radio,  
~2000 pulsars  
are detected.

In X-ray  
~400 pulsars

In  $\gamma$ -ray  
~200 pulsars

Thompson 04

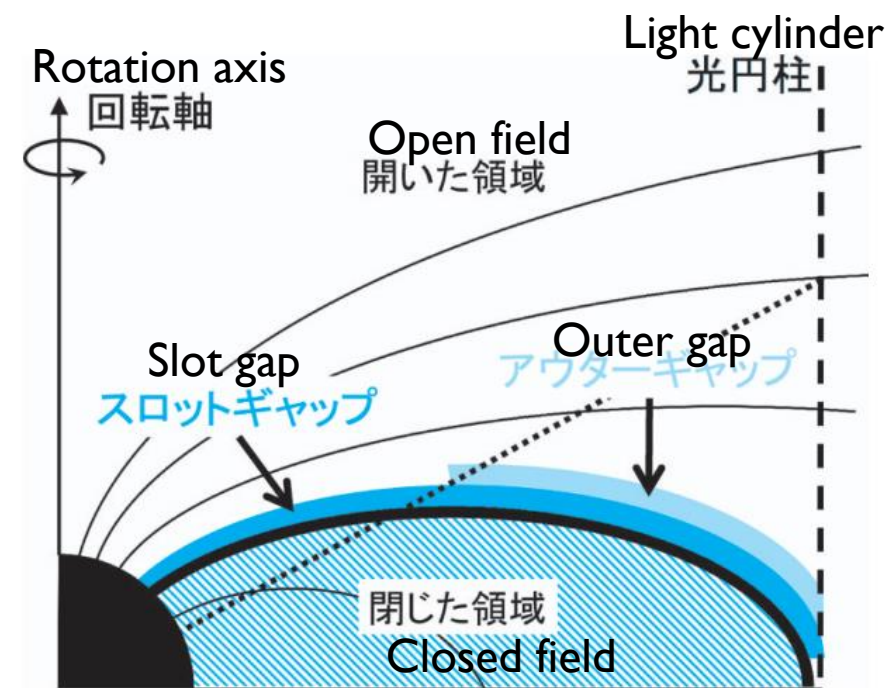
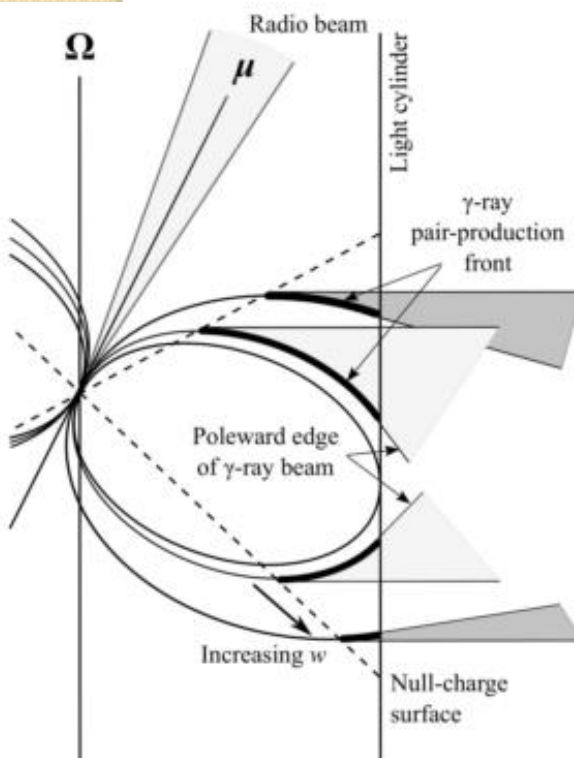
In optical bands,  
only 5 phase-resolved pulsars are detected.

# Optical observation for pulsars

- 可視光でパルスが見える天体は **5個**のみ
- 全て電波と高エネルギーで発見されたパルサーに対する  
**follow-up 観測** で見つかったもの
- Crab パルサーの観測からわかっていること ↓
  - Luminosity variation of the pulses is less than 1% in a year.
  - Correlation with Giant Radio Pulse (GRP) are present.
  - Polarization has a peak in the precursor phase.

# Radiation zone

	Young pulsars	Old pulsars
Radio	Polar cap (coherent) Slot gap?	Polar cap (coherent)
Optical	Slot gap?	Slot gap?
X-ray	Surface (thermal)	Surface (thermal)
$\gamma$ -ray	Outer gap	Outer gap?





# Tomo-e Gozen によるパルサー観測

# Tomo-e Gozen Camera

## Extremely wide field CMOS camera



Telescope	Kiso Schmidt (aperture 105cm, seeing~4'')
Filed of view	22 deg <sup>2</sup> in $\phi$ 9 deg
Sensor	<u>CMOS</u> (1k x 2k) x 84
Frame rate	2 frame / sec (0.5sec/frame)
Read out time	<0.5sec
Wavelength	optical

- 部分読み出し (248 x 24 pix) → **5.5 msec / frame**  
and **~0.05deg<sup>2</sup>** (84 sensors)
  - little dead time
- 初めての可視パルサーサーベイがTomo-eができるかも。

# Test observation for Crab pulsar

↓ Mean image for 50000 frames (322 sec)

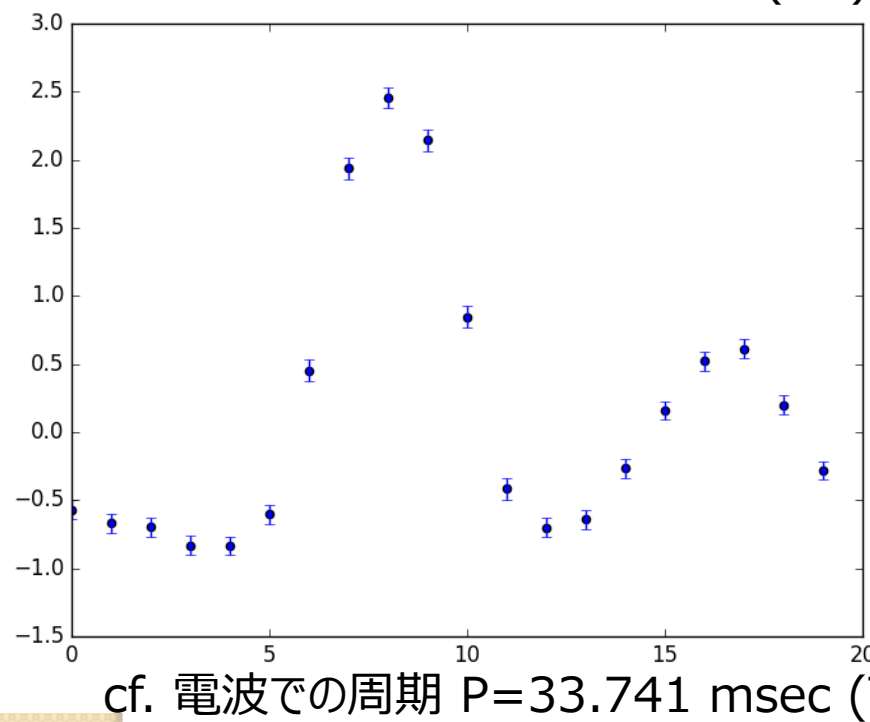
Oct. 2017 by Tomo-e Q0



↓ "Mean image of Peak 10000 frames" – "Off-peak 40000 frames"



$P=33.738 \text{ msec (UT)}$



frames	Pulses	SD	S/N
100	~20	0.73	8
300	~70	0.46	13
1000	~200	0.27	22
3000	~700	0.19	30
10000	~2000	0.13	50

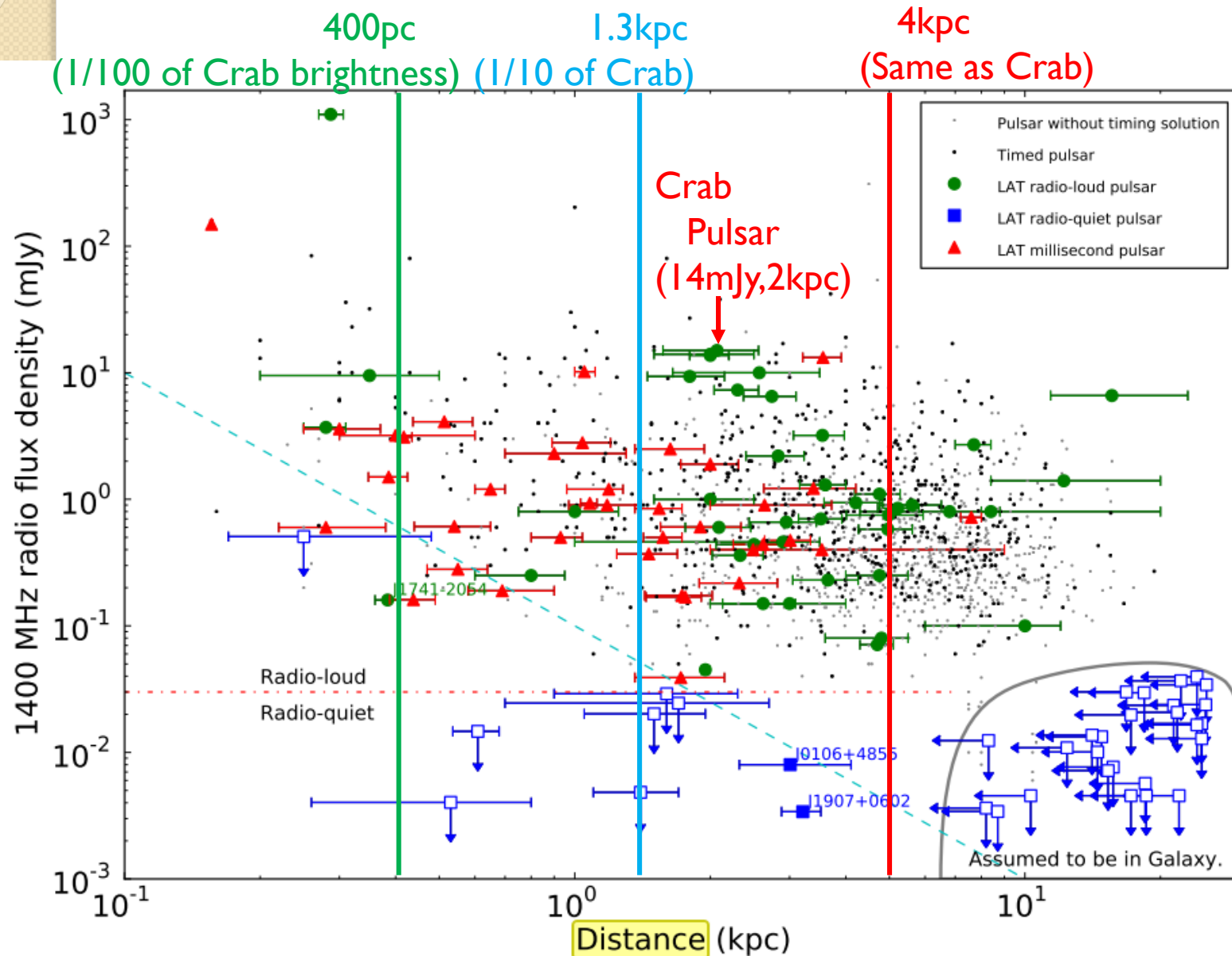
$S/N$ と撮像回数の関係

Sufficient S/N for pulsar survey



# Tomo-e Gozenによる 可視パルサーラーベイ

# Survey depth (for 6 sec /FoV)



# Survey Parameters

## Conditions

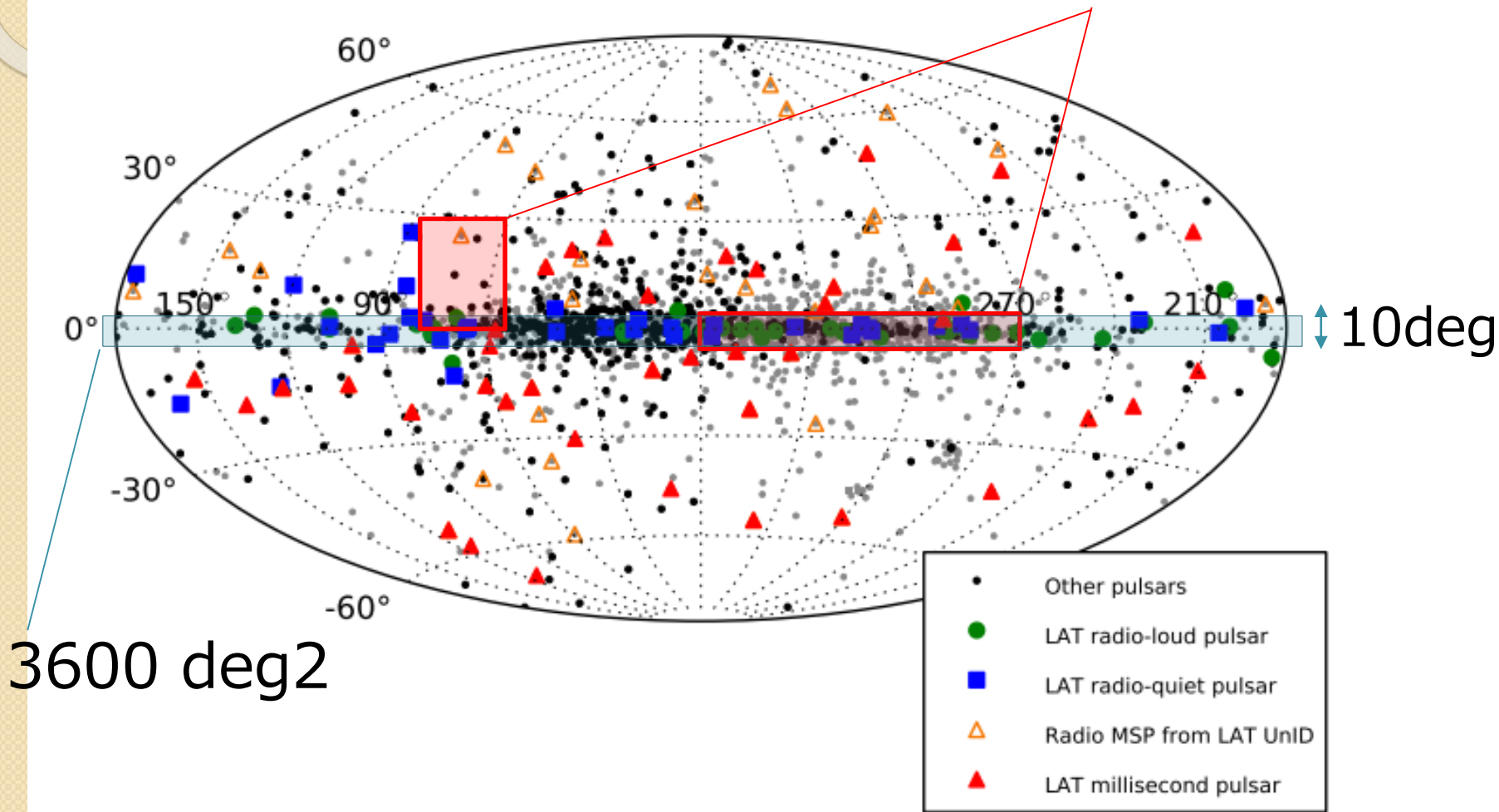
- FoV of Tomo-e Gozen:  $0.04 \ deg^2$
- Time for Telescope moving: 6 sec

## Parameters

- Total Exposure time
- Total Observation time

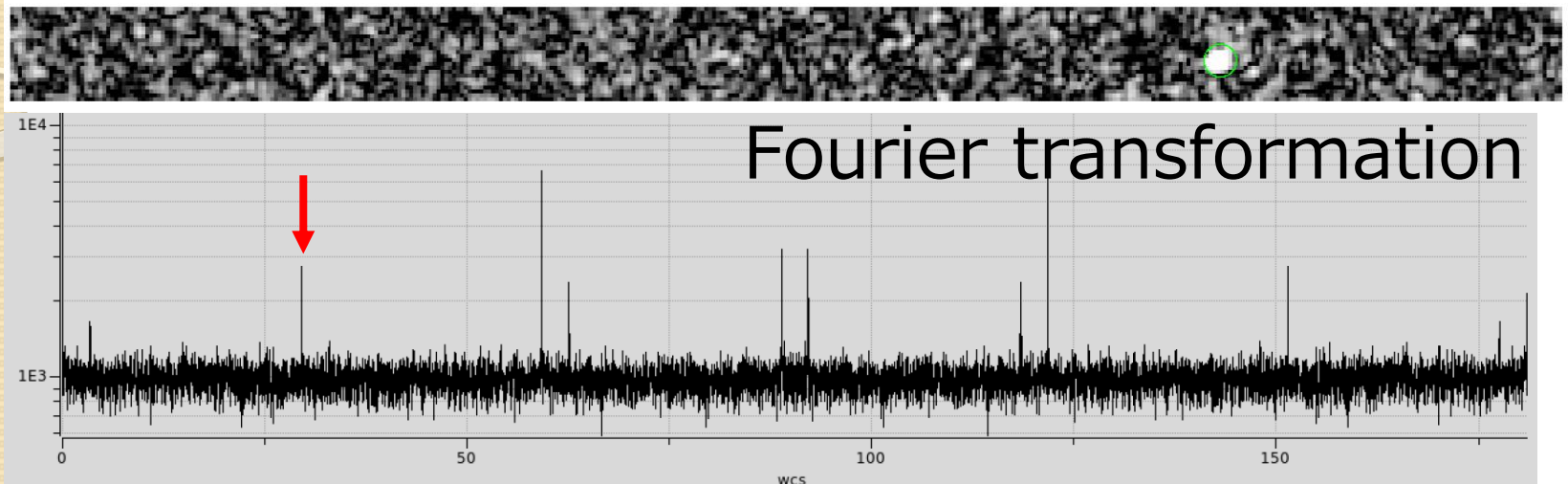
e.g. Observation of 6 sec / FoV for 10 nights  
gives 950  $deg^2$   
( x 4 season = 3800  $deg^2$ )

# Survey Area



# Further studies

- Detection for pulsars that have unknown periods



## 周期のおおよその精度

10000フレームの場合

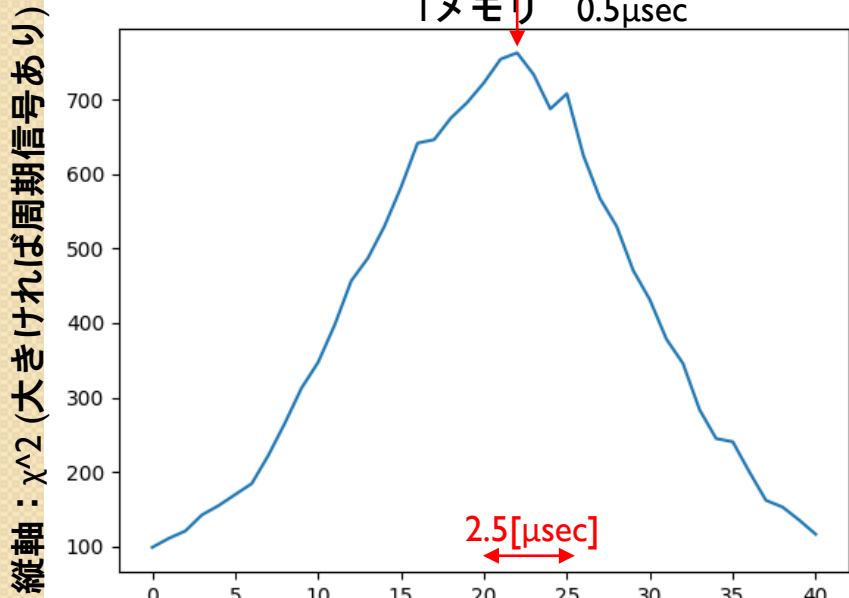
周期 33.746(2) [msec]

電波での周期

$$P = 33.7464765718070\text{ms}$$

横軸 :  $P=33.745$ が20にあたる。

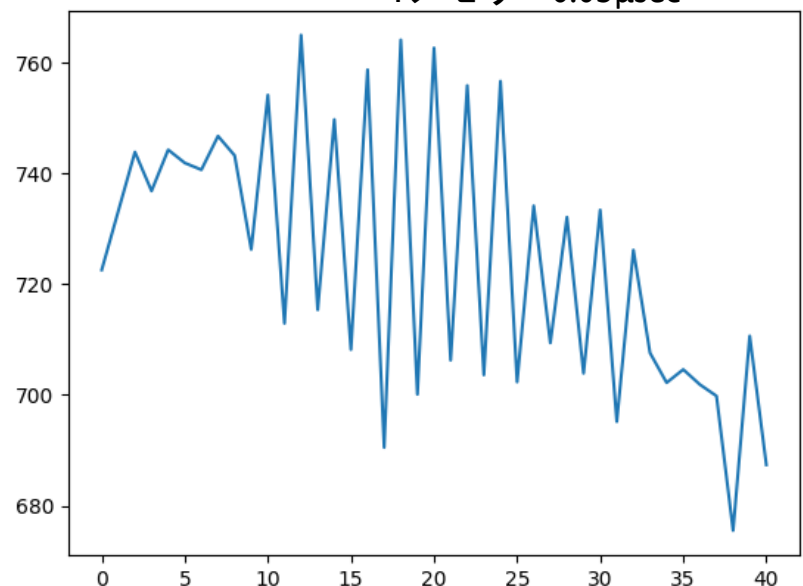
1メモリ 0.5 $\mu\text{sec}$



1μ秒の桁はぎりぎり

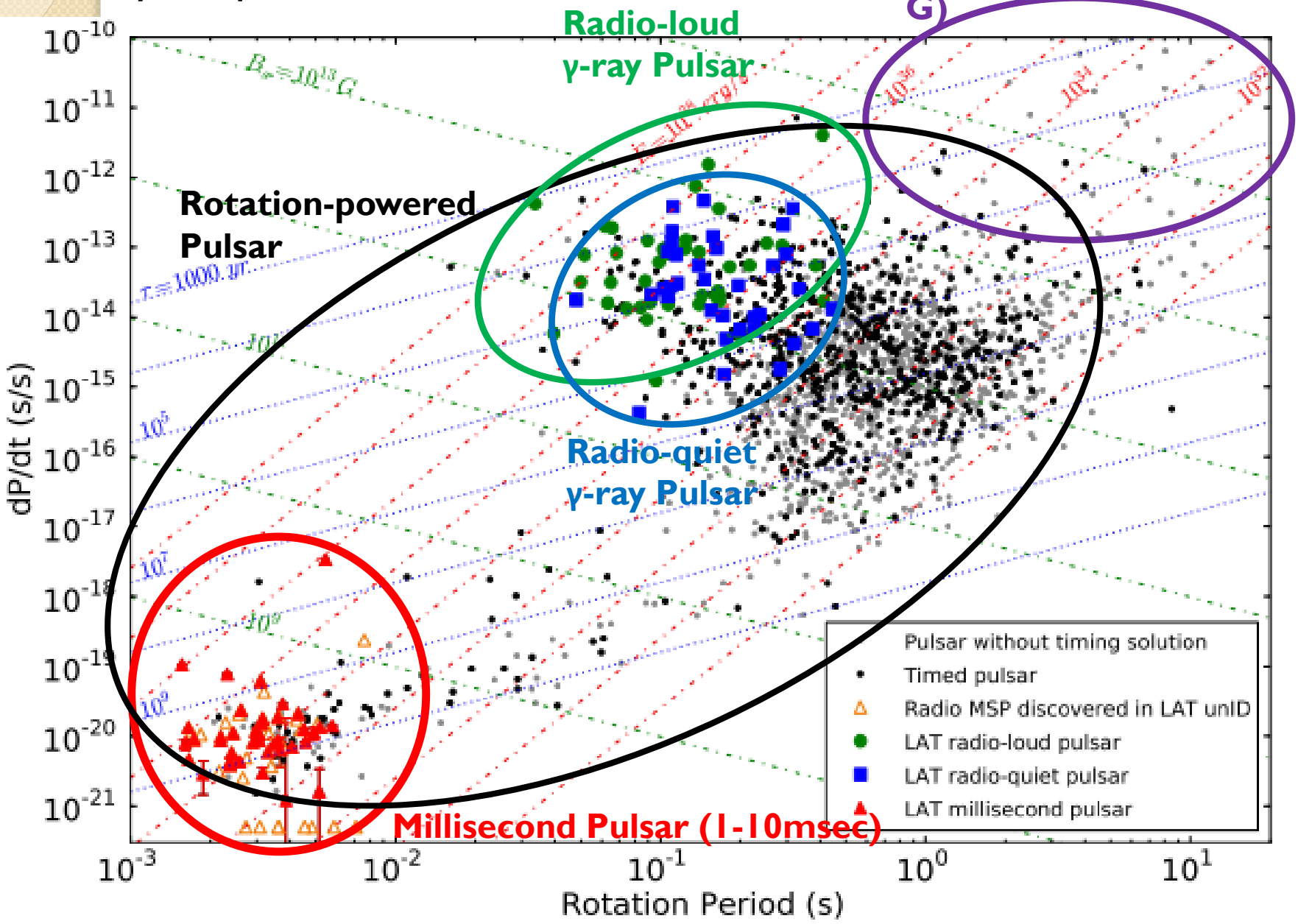
横軸 :  $P=33.746$ が20にあたる。

1メモリ 0.05 $\mu\text{sec}$



0.1μ秒の桁は特定できない

# Diversity of pulsars



Abdo+13

Magnetar (a theoretical object) Turolla+2015, review  
**( $B \gtrsim 10^{13}$  G) X-ray luminosity > spin down luminosity**

Following observed objects are candidates for Magnetar.

- Anomalous X-ray Pulsar (AXP)
  - discovered as pulsar in soft-X ray ( $\sim 10^{34-36}$  erg/s)
- Soft Gamma Repeater (SGR)
  - discovered as short burst (0.1 - 1 sec) in X/soft- $\gamma$  ray

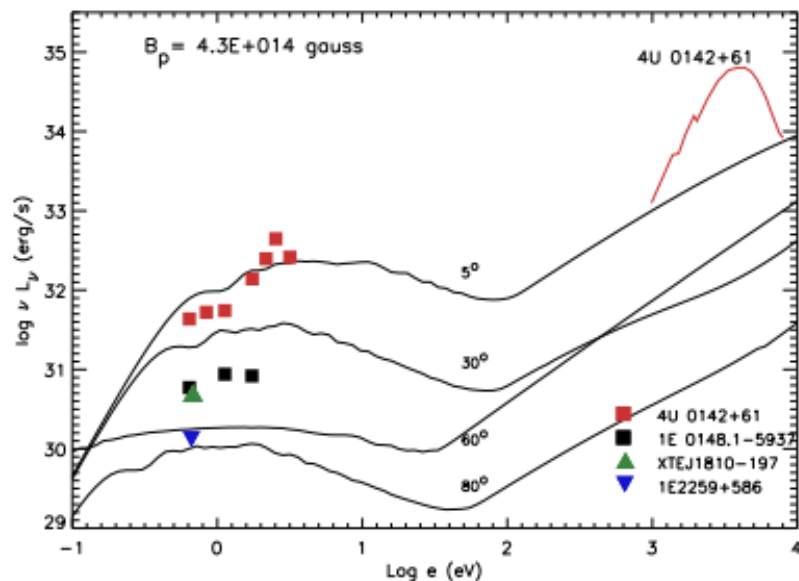
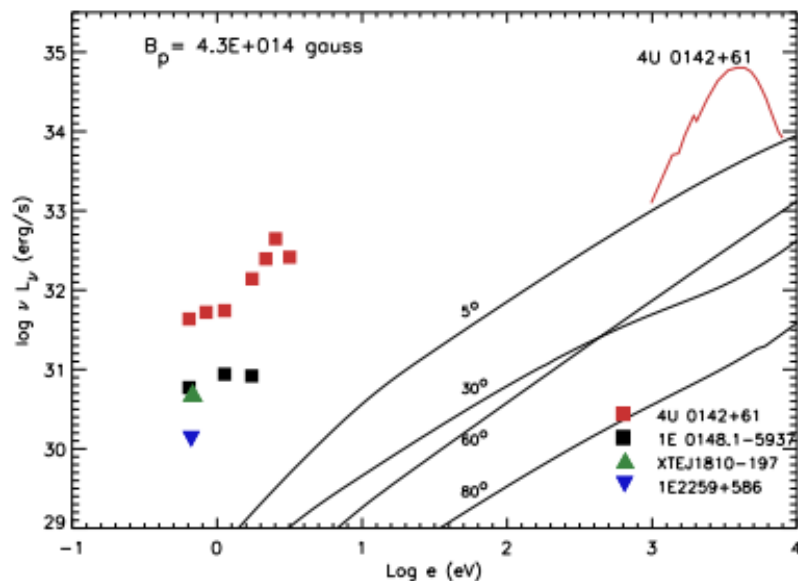
Common characteristics

- lack of evidence of binary components
- pulsations in relatively long period,  $\sim 2-12$  sec
- large spin-down rate,  $dP/dt \sim 10^{-13-11}$  s/s
- short(0.1-1s) & intermediate(1-40s) burst

Both are thought to be a single class, probably magnetar.

# Magnetar in optical/IR Cyclotron Radiation ↓

Zane+2010  
+Coherent emission ↓



band energy

Radiation from N-particles

$$E^2 = \left| E_0(\lambda) \sum_{n=1}^N \exp\left(-i \frac{2\pi x}{\lambda}\right) \right|^2$$

$$= E_0(\lambda)^2 N \left( 1 + (N-1) \left| \int \exp\left(-i \frac{2\pi x}{\lambda}\right) S(x) dx \right|^2 \right)$$

When Distance between particles < wavelength

→ Coherent emission ( $\propto N^2$ )

$E_0$  : electric field for 1 particle  
 $x$  : coordinate of a particle  
 $S(x)$  : distribution of particles